

# ロボティクス (ロボット工学基礎論)

## 第2回 運動学

李 周浩

# 4. マニピュレータの運動学 (Kinematics)

## 4.2 座標変換

### 座標系

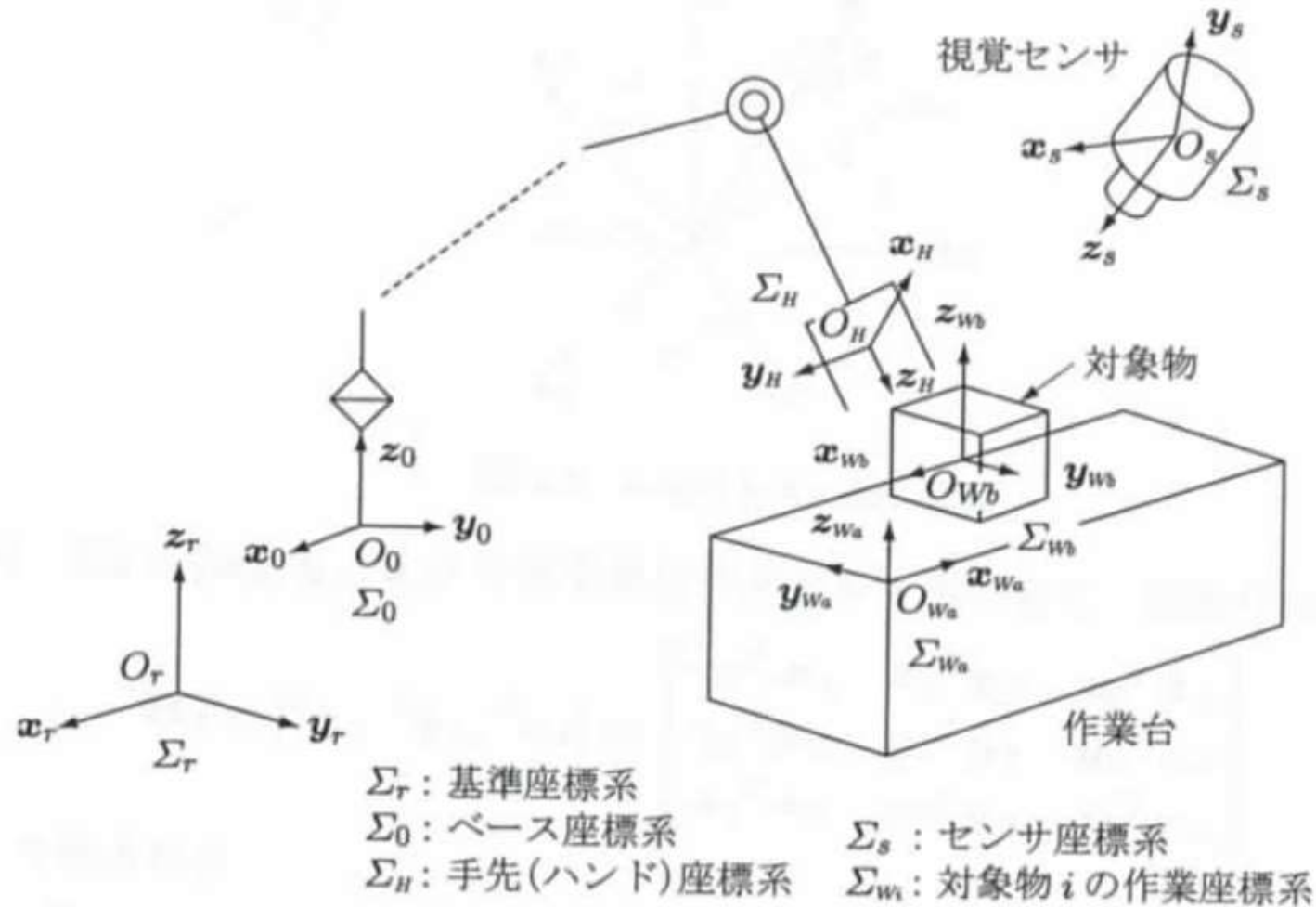


図 4.5 座 標 系

## 4.2.1 平行移動

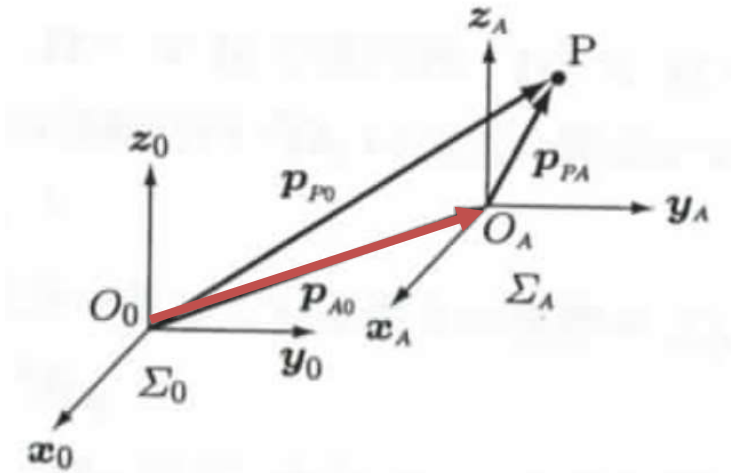
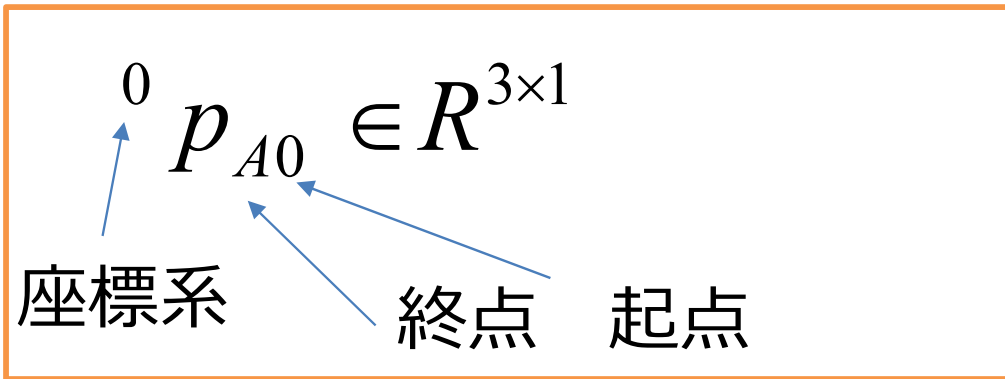


図 4.6 座標の平行移動

${}^0p_{A0}$  は,

$O_0$  から  $O_A$  に向かうベクトル (OB の位置ベクトル) を  $\Sigma_0$  座標系にて表現したものを表す.

この表記を用いれば, 一般に, 以下が成立する.

$${}^0p_{P0} = {}^0p_{A0} + {}^Ap_{PA}$$

## 4.4.2 回転行列

原点が一致した状態における回転

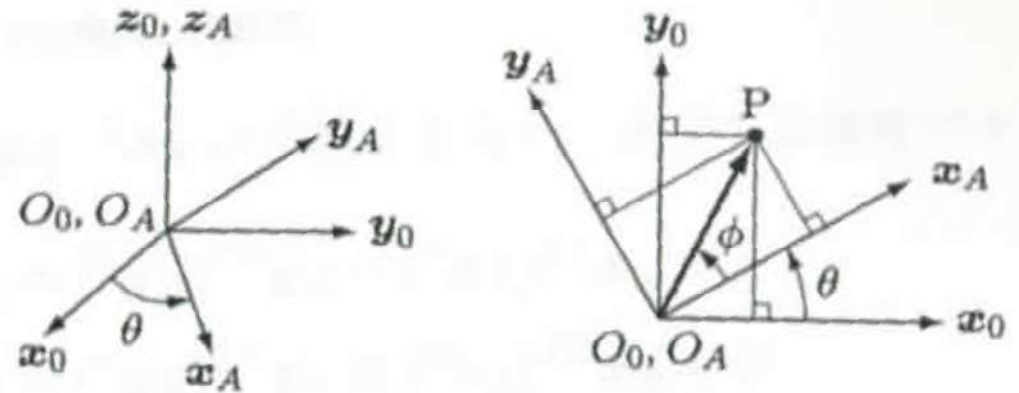
同一のベクトル  $p$  を,  
異なる座標系でみた場合の表現

$${}^0 p = {}^0 R_A {}^A p$$

$${}^0 R_A = [{}^0 \mathbf{x}_A \quad {}^0 \mathbf{y}_A \quad {}^0 \mathbf{z}_A] \in R^{3 \times 3}$$

$\mathbf{x}_A, \mathbf{y}_A, \mathbf{z}_A$  方向を向いた単位ベクトルを  $\Sigma_0$  座標系で表したベクトル

${}^0 R_A$  :  $\Sigma_A$  から  $\Sigma_0$  への回転行列とよぶ



(a)  $z$  軸回りの回転 (b)  $xy$  平面で表した  $z$  軸回りの回転

図 4.7  $z$  軸回りの回転変換

# 回転行列の性質

$${}^A R_0 = ({}^0 R_A)^{-1} = ({}^0 R_A)^T$$

このような性質を満たす行列は、  
直交行列と呼ばれる

$${}^0 R_B = {}^0 R_A {}^A R_B$$

## 例 Z軸周りの回転

$${}^0 R_A = \begin{bmatrix} \cos \theta & -\sin \theta & 0 \\ \sin \theta & \cos \theta & 0 \\ 0 & 0 & 1 \end{bmatrix}$$

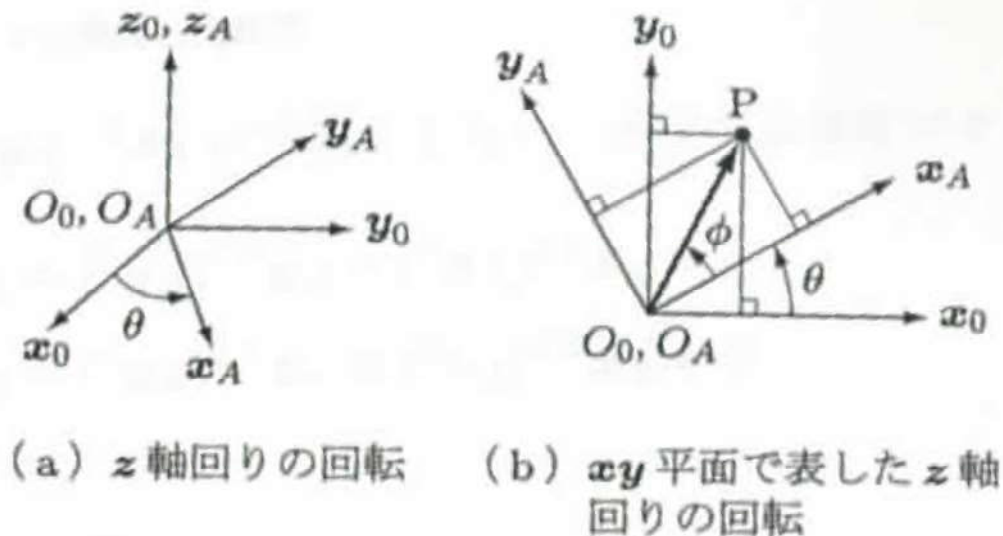


図 4.7 z 軸回りの回転変換

丸暗記だけでは不足。(他に対応できない)

回転行列の問題点：要素数 9 個 → 冗長である。

3 変数で表現できるはずである。

→ 3 回の連続回転により姿勢を表現する。

(オイラー角, ロール, ピッチ, ヨー角)

$\Sigma_A$ からみた物体Bの

位置

$${}^A p_{BA}$$

姿勢

$$\{{}^A \mathbf{x}_B, {}^A \mathbf{y}_B, {}^A \mathbf{z}_B\}$$

$${}^A R_B$$

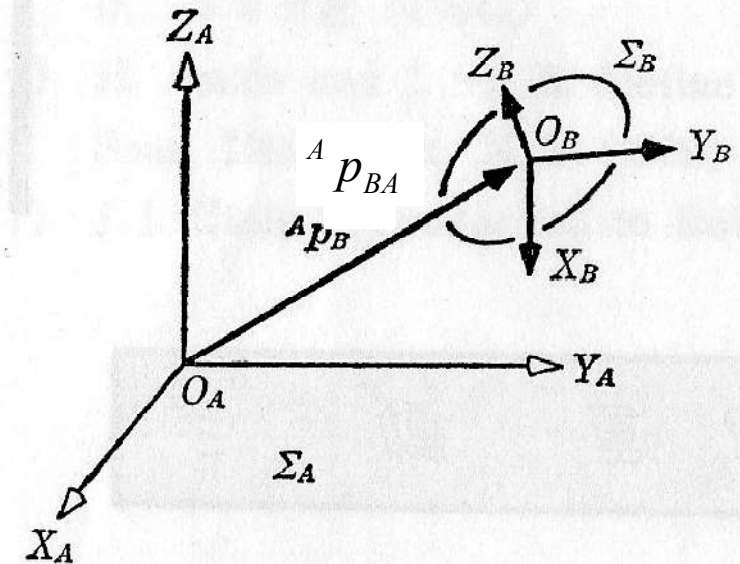


図 2.1 基準座標系と物体座標系

にて表現可能

注意：

次ページの「同次変換行列」のみで、  
位置と姿勢の表現が可能。

### 4.2.3 同次変換(並進を含む座標変換手法)

ある座標系で表現した位置ベクトルを, 別の座標系からみた位置ベクトルに変換する方法

$${}^0 p_{po} = {}^0 R_A {}^A p_{PA} + {}^0 \mathbf{p}_{A0}$$

$$\begin{bmatrix} {}^0 p_{P0} \\ 1 \end{bmatrix} = \begin{bmatrix} {}^0 R_A & {}^0 \mathbf{p}_{A0} \\ 0 & 1 \end{bmatrix} \begin{bmatrix} {}^A p_{PA} \\ 1 \end{bmatrix} = {}^0 T_A {}^A \begin{bmatrix} p_{PA} \\ 1 \end{bmatrix}$$

☆ 2つの式が同じものであることを確かめよ

同次変換行列

$${}^0 T_A := \begin{bmatrix} {}^0 R_A & {}^0 \mathbf{p}_{A0} \\ 0 & 1 \end{bmatrix}$$

同次変換行列の性質

$${}^A T_C = {}^A T_B {}^B T_C$$

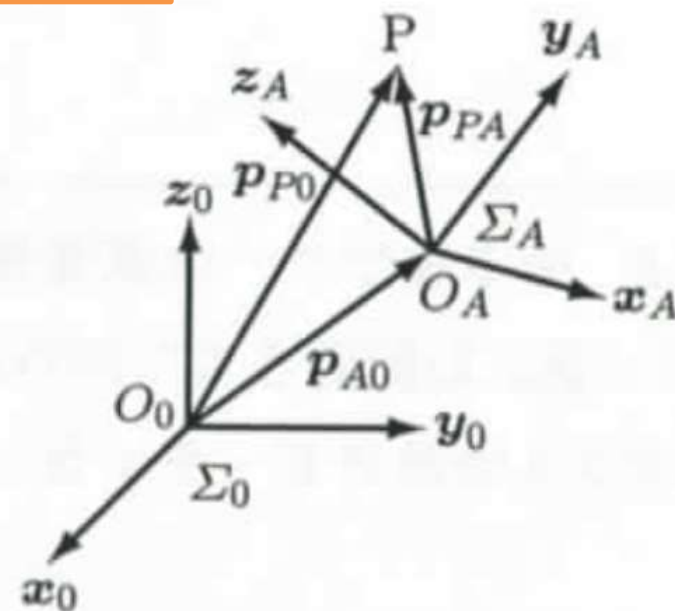


図 4.9 座標の平行移動と回転移動

# 【例4.1】ハンドの位置姿勢の同次変換行列を求めよ

位置  ${}^0p_H = [0, 4, 0]^T$

姿勢

$${}^0x_H = \begin{bmatrix} 1 \\ 0 \\ 0 \end{bmatrix}, \quad {}^0y_H = \begin{bmatrix} 0 \\ 0 \\ 1 \end{bmatrix}, \quad {}^0z_H = \begin{bmatrix} 0 \\ -1 \\ 0 \end{bmatrix}$$

である。これより回転行列は

$${}^0R_H = \begin{bmatrix} 1 & 0 & 0 \\ 0 & 0 & -1 \\ 0 & 1 & 0 \end{bmatrix}$$

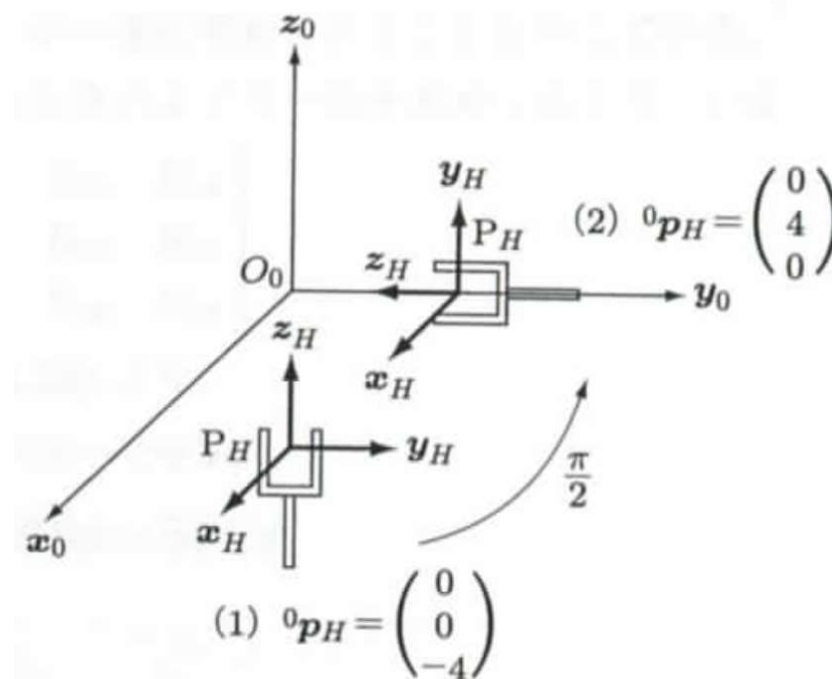


図 4.10 ハンドの変換

基準座標系からΣ0からみたハンドの位置姿勢を表す  
同次変換行列は

$${}^0T_H = \begin{bmatrix} 1 & 0 & 0 & 0 \\ 0 & 0 & -1 & 4 \\ 0 & 1 & 0 & 0 \\ 0 & 0 & 0 & 1 \end{bmatrix}$$

$${}^0T_A := \begin{bmatrix} {}^0R_A & {}^0p_{A0} \\ 0 & 0 & 0 & 1 \end{bmatrix}$$



## 4.2.4 姿勢表現 (1) オイラー角 $(\phi, \theta, \psi)$

3回の回転で姿勢を表現

Z軸周り  $\phi \rightarrow Y'$ 軸周り  $\theta \rightarrow Z''$ 軸周り  $\psi$

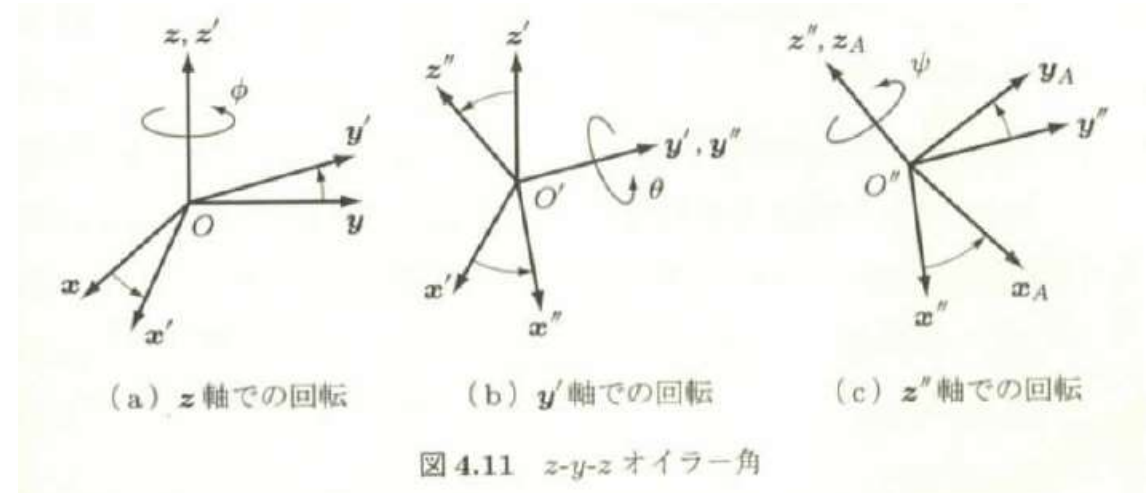
(注意1) いくつか種類がある. バラバラ

例1: 吉川のテキストでは,  
Z  $\rightarrow$  x'  $\rightarrow$  Z' 軸まわりである.

例2: あるメーカーのセンサでは, x  $\rightarrow$  y  $\rightarrow$  z

オイラー角の回転行列

$$\begin{aligned} {}^O R_A &= {}^O R_{O'} {}^{O'} R_{O''} {}^{O''} R_A \\ &= R(Z, \phi) R(Y, \theta) R(Z, \psi) \end{aligned}$$



例

$${}^O R_{O'} = R(z, \phi) = \begin{bmatrix} C_\phi & -S_\phi & 0 \\ S_\phi & C_\phi & 0 \\ 0 & 0 & 1 \end{bmatrix}$$

オイラー角  $(\phi, \theta, \psi)$   
 $\rightarrow$  回転行列の計算可能

$${}^O R_A = \begin{bmatrix} C_\phi C_\theta C_\psi - S_\phi S_\psi & -C_\phi C_\theta S_\psi - S_\phi C_\psi & C_\phi S_\theta \\ S_\phi C_\theta C_\psi + C_\phi S_\psi & -S_\phi C_\theta S_\psi + C_\phi C_\psi & S_\phi S_\theta \\ -S_\theta C_\psi & S_\theta S_\psi & C_\theta \end{bmatrix} \quad (4.32)$$

# オイラー角の求め方

## 回転行列の数値が与えられた場合

$${}^O R_A = \begin{bmatrix} R_{11} & R_{12} & R_{13} \\ R_{21} & R_{22} & R_{23} \\ R_{31} & R_{32} & R_{33} \end{bmatrix}$$

$${}^O R_A = \begin{bmatrix} C_\phi C_\theta C_\psi - S_\phi S_\psi & -C_\phi C_\theta S_\psi - S_\phi C_\psi & C_\phi S_\theta \\ S_\phi C_\theta C_\psi + C_\phi S_\psi & -S_\phi C_\theta S_\psi + C_\phi C_\psi & S_\phi S_\theta \\ -S_\theta C_\psi & S_\theta S_\psi & C_\theta \end{bmatrix}$$

両者を比較して,  $\phi$ ,  $\theta$ ,  $\psi$ を求める.

$$R_{13}^2 + R_{23}^2 = S_\theta^2$$

$$S_\theta = \pm \sqrt{R_{13}^2 + R_{23}^2}$$

$$\theta = \text{atan2}(\pm \sqrt{R_{13}^2 + R_{23}^2}, R_{33}) \quad (4.38)$$

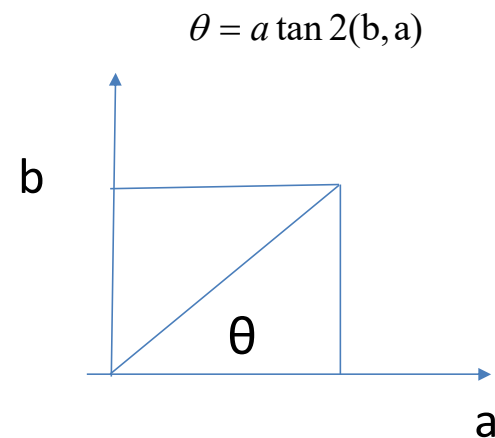
$\sin \theta \neq 0$  のとき,

$$R_{13}, R_{23} \text{ より, } \phi = \text{atan2}(\pm R_{23}, \pm R_{13})$$

$$R_{31}, R_{33} \text{ より, } \psi = \text{atan2}(\pm R_{32}, \mp R_{31})$$

$\sin \theta = 0$  のとき, (1)  $\cos \theta = 1$  のとき,

2通り存在



$$\theta = \cos^{-1}(R_{33}) = (1 - R_{33})\pi/2$$

$$\psi = \text{atan2}(R_{21}, R_{22}) - R_{33}\phi$$

$\sin\theta = 0$  のとき,  
(1)  $\cos\theta=1$ のとき,

$${}^o R_A = \begin{bmatrix} C_{\phi+\psi} & -S_{\phi+\psi} & 0 \\ S_{\phi+\psi} & C_{\phi+\psi} & 0 \\ 0 & 0 & 1 \end{bmatrix} \quad \text{となる.}$$

よって  $\theta = 0$   
 $\phi + \psi = \text{atan2}(R_{21}, R_{22})$

(2)  $\cos\theta=-1$  のとき,

$${}^o R_A = \begin{bmatrix} C_{\phi-\psi} & -S_{\phi-\psi} & 0 \\ S_{\phi-\psi} & -C_{\phi-\psi} & 0 \\ 0 & 0 & -1 \end{bmatrix} \quad \text{となる.}$$

よって  $\theta = \pm\pi$   
 $\phi - \psi = \text{atan2}(R_{21}, -R_{22})$

## 4.2.4 姿勢表現 (2) ロールピッチヨー

3回の回転で姿勢を表現

Z軸周り  $\varphi \rightarrow$  Y'軸周り  $\theta \rightarrow$  X軸周り  $\psi$

自動車などでよく使う.

注意

オイラー角,  $(\varphi, \theta, \psi)$

ロールピッチヨー角  $(\varphi, \theta, \psi)$

$\rightarrow$  和算ができない.